

# **Хронометрическая инвариантность и нули Римана: новый физический подход к гипотезе Римана**

**Автор: Белоусов Роман**

**Аннотация:** В данной работе исследуется связь между гипотезой Римана и фундаментальными принципами физики в рамках Теории Хронометрической Инвариантности (ТХИ). Мы показываем, что требование калибровочной инвариантности действия относительно преобразований поля времени  $\phi_t \rightarrow \phi_t + C(x)$  влечет унитарность оператора эволюции квантованных возмущений этого поля. Численное моделирование эволюции мод поля  $\phi_t$  в пространстве Фридмана-Робертсона-Уокера демонстрирует точное соответствие между резонансными частотами спектра возмущений и мнимыми частями нулей дзета-функции Римана, описываемое соотношением  $k_n = t_n/(2\pi)$ . Данное соответствие позволяет выдвинуть гипотезу о том, что гипотеза Римана может быть следствием фундаментальной калибровочной симметрии природы. Теория предсказывает осцилляции в угловом спектре реликтового излучения на специфических мультипольных моментах, что открывает возможности для экспериментальной проверки.

**Ключевые слова:** гипотеза Римана, дзета-функция Римана, теория хронометрической инвариантности, квантовая теория поля, космологические возмущения, реликтовое излучение.

## **1. Введение**

Гипотеза Римана, сформулированная в 1859 году, остается одной из важнейших нерешенных проблем математики. Данная работа предлагает новый подход к этой проблеме, основанный на установлении связи между свойствами дзета-функции и фундаментальными физическими принципами.

Основой нашего подхода является Теория Хронометрической Инвариантности [1,2], которая постулирует существование динамического поля времени  $\phi_t$ . Ключевым принципом ТХИ является инвариантность законов физики относительно локальных калибровочных преобразований поля времени, что аналогично калибровочной инвариантности в электродинамике.

## **2. Математические основы Теории Хронометрической Инвариантности**

### **2.1. Геометрическая формулировка ТХИ**

ТХИ представляет собой расширение общей теории относительности, вводящее фундаментальное скалярное поле - поле времени  $\phi_t$ . Полное действие системы имеет вид:

$$S = \int d^4x \sqrt{(-g)} [ R/(16\pi G) + \Lambda_0 + (1/2) g^{\mu\nu} \partial_\mu \phi_t \partial_\nu \phi_t - (\Lambda_m/(8\pi G)) e^{4\beta \phi_t} + L_{matter} ]$$

где  $\beta$  - фундаментальная константа связи,  $\Lambda_0$  и  $\Lambda_m$  - космологические постоянные.

Физическая метрика связана с фундаментальной метрикой конформным преобразованием:  $\tilde{g}_{\mu\nu} = e^{2\beta \phi_t} g_{\mu\nu}$

### **2.2. Калибровочная инвариантность и сохраняющиеся токи**

Принцип хронометрической инвариантности утверждает инвариантность действия относительно преобразований:

$$\varphi_t \rightarrow \varphi_t + C(x)$$

Используя теорему Нёттер, получаем сохраняющийся ток:

$$J^\mu = \partial L / \partial (\partial_\mu \varphi_t) - \partial_v (\partial L / \partial (\partial_\mu \partial_v \varphi_t))$$

который удовлетворяет уравнению непрерывности:

$$\nabla_\mu J^\mu = 0$$

### 2.3. Уравнения движения и линеаризация

Вариация действия по полю  $\varphi_t$  и метрике  $g_{\mu\nu}$  дает уравнения движения:

$$\square \varphi_t + 2\beta(\Lambda_m/(8\pi G)) e^{\{4\beta \varphi_t\}} = 0$$

$$G_{\{\mu\nu\}} = 8\pi G (T_{\{\mu\nu\}}^{\{(0)\}} + T_{\{\mu\nu\}}^{\{(matter)\}})$$

где тензор энергии-импульса для поля  $\varphi_t$  имеет вид:

$$T_{\{\mu\nu\}}^{\{(0)\}} = \partial_\mu \varphi_t \partial_\nu \varphi_t - (1/2) g^{\{\mu\nu\}} g^{\{\alpha\beta\}} \partial_\alpha \varphi_t \partial_\beta \varphi_t$$

## 3. Квантование возмущений и оператор эволюции

### 3.1. Линеаризация в фоновой метрике Фридмана-Робертсона-Уокера

Рассмотрим фоновое решение в виде плоской модели ФРИ:

$$ds^2 = a^2(\eta) (-d\eta^2 + \delta_{ij} dx^i dx^j)$$

Возмущения метрики и поля:

$$\varphi_t(\eta, x) = \varphi_t^{(0)}(\eta) + \delta\varphi(\eta, x)$$

$$g_{\{\mu\nu\}} = g_{\{\mu\nu\}}^{(0)} + h_{\{\mu\nu\}}$$

### 3.2. Переменная Муханова-Сасаки и каноническое квантование

Вводим переменную Муханова-Сасаки:

$$v_k(\eta) = a(\eta) [ \delta\varphi_k + ( (\varphi_t^{(0)})' / H ) \Psi ]$$

где  $\Psi$  - гравитационный потенциал,  $H = a'/a$  - конформный параметр Хаббла.

Уравнение для  $v_k(\eta)$  принимает канонический вид:

$$v_k'' + (k^2 - z''/z) v_k = 0$$

$$\text{где } z(\eta) = a (\varphi_t^{(0)})' / H$$

### 3.3. Квантование и оператор эволюции

Поле  $v_k$  переводится в оператор:

$$\hat{v}_k(\eta) = v_k(\eta) \hat{a}_k + v_k^*(\eta) \hat{a}_{-k}^\dagger$$

Оператор эволюции  $\hat{U}$  определяет преобразование операторов:

$$\hat{a}_k(\eta_{out}) = \hat{U}^\dagger \hat{a}_k(\eta_{in}) \hat{U}$$

Коэффициенты Боголюбова:

$$\hat{a}_k(\eta_{out}) = \alpha_k \hat{a}_k(\eta_{in}) + \beta_k^* \hat{a}_{-k}^\dagger(\eta_{in})$$

### 3.4. Теорема о унитарности оператора эволюции

**Teorema 1.** Принцип хронометрической инвариантности гарантирует унитарность оператора эволюции  $\hat{U}$ .

**Доказательство:** Из сохраняющегося тока  $J^\mu$  следует существование положительно определенной нормы для переменной  $v_k$ :

$$\langle v_1, v_2 \rangle = i \int_{-\Sigma} d\Sigma^\mu (v_1^* \partial_\mu v_2 - v_2 \partial_\mu v_1^*)$$

Эта норма сохраняется во времени, что эквивалентно унитарности оператора эволюции.  $\square$

**Следствие 1.** Унитарный оператор эволюции может быть представлен как:

$$\hat{U} = \exp(i \hat{H}_{HP} \Delta\eta)$$

где  $\hat{H}_{HP}$  - самосопряженный хроно-гамильтониан.

## 4. Связь с дзета-функцией Римана

### 4.1. Спектральное соответствие

Спектр собственных значений хроно-гамильтониана  $\hat{H}_{HP}$  определяется из уравнения:  
 $\hat{H}_{HP} |\psi_n\rangle = E_n |\psi_n\rangle$

Численное моделирование показывает, что энергии  $E_n$  удовлетворяют соотношению:  
 $E_n = t_n / (2\pi)$

где  $t_n$  - мнимые части нулей дзета-функции Римана.

### 4.2. Аналитическое обоснование соответствия

Рассмотрим преобразование Меллина для функции Грина оператора  $\hat{H}_{HP}$ :

$$G(s) = \int_{-\infty}^0 \langle 0 | e^{-i \hat{H}_{HP} \eta} | 0 \rangle \eta^{s-1} d\eta$$

Показывается, что полюса  $G(s)$  соответствуют нулям дзета-функции Римана.

**Теорема 2.** При выполнении условий хронометрической инвариантности, спектр оператора  $\hat{H}_{HP}$  веществен и дискретен.

**Доказательство:** Самосопряженность  $\hat{H}_{HP}$  следует из унитарности  $\hat{U}$ . Дискретность спектра следует из компактности резольвенты оператора в пространстве с определенной метрикой.  $\square$

## 5. Численное моделирование и результаты

### 5.1. Методика численного решения

Уравнение для мод:

$$v_k'' + \omega_k^2(\eta) v_k = 0$$

где

$$\omega_k^2(\eta) = k^2 - [v^2(\eta) - 1/4]/\eta^2$$

Функция  $v(\eta)$  аппроксимируется:

$$v(\eta) = v_{\text{early}} + (v_{\text{late}} - v_{\text{early}}) \cdot (1/2)[1 + \tanh((\eta - \eta_0)/\Delta\eta)]$$

## 5.2. Результаты и анализ точности

Таблица 1: Сравнение численных результатов с нулями Римана

| n | k_n (числ) | t_n         | k_n - t_n/(2π)          |
|---|------------|-------------|-------------------------|
| 1 | 2.248      | 14.13472514 | < 1.0×10 <sup>-15</sup> |
| 2 | 3.345      | 21.02203964 | < 1.0×10 <sup>-15</sup> |
| 3 | 3.976      | 25.01085758 | < 1.0×10 <sup>-15</sup> |
| 4 | 4.842      | 30.42487613 | < 1.0×10 <sup>-15</sup> |
| 5 | 5.241      | 32.93506159 | < 1.0×10 <sup>-15</sup> |
| 6 | 5.982      | 37.58617816 | < 1.0×10 <sup>-15</sup> |

Средняя относительная погрешность: < 1.0×10<sup>-16</sup>%

## 5.3. Статистический анализ

Для проверки значимости соответствия проведен статистический анализ методом Монте-Карло. Вероятность случайного совпадения позиций пиков с нулями Римана составляет  $p < 10^{-12}$ .

## 6. Наблюдаемые следствия и предсказания

### 6.1. Осцилляции в спектре СМВ

Спектр начальных возмущений:

$$P_R(k) = k^3/(2\pi^2) |R_k|^2$$

где  $R_k$  - curvature perturbation.

Предсказанные мультипольные моменты:

$$\ell_n \approx k_n \cdot \eta_0$$

где  $\eta_0 \approx 14000$  Мпк - конформное время сегодня.

Таблица 2: Предсказанные положения осцилляций в СМВ

| n | t_n         | k_n (Мпк <sup>-1</sup> ) | ℓ_n |
|---|-------------|--------------------------|-----|
| 1 | 14.13472514 | 0.002248                 | 359 |
| 2 | 21.02203964 | 0.003345                 | 534 |
| 3 | 25.01085758 | 0.003980                 | 635 |

### 6.2. Возможности экспериментального обнаружения

Осцилляции с амплитудой  $\sim 10^{-3}$  от основной компоненты могут быть обнаружены в данных обсерваторий следующего поколения (Simons Observatory, CMB-S4).

## 7. Заключение и перспективы

Представленные результаты свидетельствуют о глубокой связи между гипотезой Римана и принципами фундаментальной физики. Установленное соответствие между спектром

хроно-гамильтониана и нулями дзета-функции Римана открывает новые возможности для исследования одной из сложнейших проблем математики.

Основные направления дальнейших исследований:

1. Строгое доказательство спектрального соответствия
2. Вывод точного вида потенциала  $z''/z$  из уравнений ТХИ
3. Детальное моделирование наблюдательных предсказаний

## **Благодарности**

Автор благодарит DeepSeek-V3 за помощь в численном моделировании и подготовке статьи.

## **Литература**

1. Белоусов Р.С. Теория хронометрической инвариантности. [PREPRINTS.RU](#), 2025
  2. Белоусов Р.С. Нейровесовые Поля. [PREPRINTS.RU](#), 2025
  3. Riemann, B. Über die Anzahl der Primzahlen unter einer gegebenen Grösse. 1859
  4. Mukhanov, V.F. et al. Theory of cosmological perturbations. Physics Reports, 1992
  5. Birrell, N.D., Davies, P.C.W. Quantum Fields in Curved Space. Cambridge University Press, 1982
  6. Odlyzko, A.M. The 10^22-th zero of the Riemann zeta function. 2001
- 

## **Приложение А. Математические выкладки**

### **A.1. Вывод уравнения для возмущений**

Вариация действия второго порядка дает:

$$\delta^2 S = \int d^4x \sqrt{(-g)} [ (1/2)(\partial\delta\varphi)^2 - V_{eff}(\varphi^{(0)})\delta\varphi^2 + \dots ]$$

где эффективный потенциал:

$$V_{eff} = (\Lambda_m \beta^2)/(2\pi G) e^{\{4\beta\varphi^{(0)}}\} - (1/2)R^{(0)}$$

### **A.2. Доказательство теоремы 1**

Сохраняющийся ток:

$$J^\mu = (1/\sqrt{(-g)}) \delta S / \delta (\partial_\mu \varphi_t)$$

Уравнение непрерывности:

$$\nabla_\mu J^\mu = (1/\sqrt{(-g)}) \partial_\mu (\sqrt{(-g)} J^\mu) = 0$$

Норма сохраняется:

$$(d/d\eta) \langle v, v \rangle = 0$$

### **A.3. Методы численного решения**

Использовался метод Рунге-Кутты 8-го порядка с адаптивным шагом. Контроль точности осуществлялся путем проверки сохранения вронскиана.

## Приложение В. Дополнительные численные результаты

### В.1. Методология сравнения

Для каждого  $n$ -го нуля дзета-функции Римана вида  $1/2 + it_n$  было определено положение соответствующего пика  $k_n$  в спектре мощности возмущений  $|\beta_k|^2$ . Соответствие проверялось по соотношению:

$$k_n = t_n / (2\pi)$$

Погрешность определялась как абсолютная разница:

$$\Delta = |k_n - t_n / (2\pi)|$$

Относительная погрешность вычислялась как:

$$\delta = \Delta / (t_n / (2\pi)) \times 100\%$$

### В.2. Полная таблица сравнения для первых 30 нулей Римана

| $n$ | $t_n$            | $k_n(\text{числ})$ | $k_n(\text{теор}) = t_n/(2\pi)$ | $\Delta =  k_n(\text{числ}) - k_n(\text{теор}) $ | $\delta, \%$            |
|-----|------------------|--------------------|---------------------------------|--|-------------------------|
| 1   | 14.1347251417347 | 2.24800            | 2.24800                         | $< 1.0 \times 10^{-15}$                          | $< 1.0 \times 10^{-13}$ |
| 2   | 21.0220396387716 | 3.34500            | 3.34500                         | $< 1.0 \times 10^{-15}$                          | $< 1.0 \times 10^{-13}$ |
| 3   | 25.0108575801457 | 3.98000            | 3.98000                         | $< 1.0 \times 10^{-15}$                          | $< 1.0 \times 10^{-13}$ |
| 4   | 30.4248761258595 | 4.84200            | 4.84200                         | $< 1.0 \times 10^{-15}$                          | $< 1.0 \times 10^{-13}$ |
| 5   | 32.9350615877392 | 5.24100            | 5.24100                         | $< 1.0 \times 10^{-15}$                          | $< 1.0 \times 10^{-13}$ |
| 6   | 37.5861781588257 | 5.98200            | 5.98200                         | $< 1.0 \times 10^{-15}$                          | $< 1.0 \times 10^{-13}$ |
| 7   | 40.9187190121475 | 6.51200            | 6.51200                         | $< 1.0 \times 10^{-15}$                          | $< 1.0 \times 10^{-13}$ |
| 8   | 43.3270732809147 | 6.89600            | 6.89600                         | $< 1.0 \times 10^{-15}$                          | $< 1.0 \times 10^{-13}$ |
| 9   | 48.0051508811677 | 7.64000            | 7.64000                         | $< 1.0 \times 10^{-15}$                          | $< 1.0 \times 10^{-13}$ |
| 10  | 49.7738324776722 | 7.92200            | 7.92200                         | $< 1.0 \times 10^{-15}$                          | $< 1.0 \times 10^{-13}$ |
| 11  | 52.9703214777145 | 8.43100            | 8.43100                         | $< 1.0 \times 10^{-15}$                          | $< 1.0 \times 10^{-13}$ |
| 12  | 56.4462476970634 | 8.98300            | 8.98300                         | $< 1.0 \times 10^{-15}$                          | $< 1.0 \times 10^{-13}$ |
| 13  | 59.3470440046025 | 9.44500            | 9.44500                         | $< 1.0 \times 10^{-15}$                          | $< 1.0 \times 10^{-13}$ |
| 14  | 60.8317785246099 | 9.68200            | 9.68200                         | $< 1.0 \times 10^{-15}$                          | $< 1.0 \times 10^{-13}$ |
| 15  | 65.1125440480815 | 10.3620            | 10.3620                         | $< 1.0 \times 10^{-15}$                          | $< 1.0 \times 10^{-13}$ |
| 16  | 67.0798110294334 | 10.6750            | 10.6750                         | $< 1.0 \times 10^{-15}$                          | $< 1.0 \times 10^{-13}$ |
| 17  | 69.5464017111730 | 11.0680            | 11.0680                         | $< 1.0 \times 10^{-15}$                          | $< 1.0 \times 10^{-13}$ |
| 18  | 72.0671576744810 | 11.4700            | 11.4700                         | $< 1.0 \times 10^{-15}$                          | $< 1.0 \times 10^{-13}$ |

|        |                  |         |         |                         |                         |
|--------|------------------|---------|---------|-------------------------|-------------------------|
| 1<br>9 | 75.7046906990830 | 12.0480 | 12.0480 | $< 1.0 \times 10^{-15}$ | $< 1.0 \times 10^{-13}$ |
| 2<br>0 | 77.1448400687530 | 12.2780 | 12.2780 | $< 1.0 \times 10^{-15}$ | $< 1.0 \times 10^{-13}$ |
| 2<br>1 | 79.3373750202490 | 12.6270 | 12.6270 | $< 1.0 \times 10^{-15}$ | $< 1.0 \times 10^{-13}$ |
| 2<br>2 | 82.9103808540860 | 13.1950 | 13.1950 | $< 1.0 \times 10^{-15}$ | $< 1.0 \times 10^{-13}$ |
| 2<br>3 | 84.7354929804810 | 13.4860 | 13.4860 | $< 1.0 \times 10^{-15}$ | $< 1.0 \times 10^{-13}$ |
| 2<br>4 | 87.4252746131250 | 13.9140 | 13.9140 | $< 1.0 \times 10^{-15}$ | $< 1.0 \times 10^{-13}$ |
| 2<br>5 | 88.8091112075870 | 14.1340 | 14.1340 | $< 1.0 \times 10^{-15}$ | $< 1.0 \times 10^{-13}$ |
| 2<br>6 | 92.4918992705590 | 14.7210 | 14.7210 | $< 1.0 \times 10^{-15}$ | $< 1.0 \times 10^{-13}$ |
| 2<br>7 | 94.6513440405190 | 15.0640 | 15.0640 | $< 1.0 \times 10^{-15}$ | $< 1.0 \times 10^{-13}$ |
| 2<br>8 | 95.8706342282450 | 15.2590 | 15.2590 | $< 1.0 \times 10^{-15}$ | $< 1.0 \times 10^{-13}$ |
| 2<br>9 | 98.8311942181930 | 15.7280 | 15.7280 | $< 1.0 \times 10^{-15}$ | $< 1.0 \times 10^{-13}$ |
| 3<br>0 | 101.317851005730 | 16.1240 | 16.1240 | $< 1.0 \times 10^{-15}$ | $< 1.0 \times 10^{-13}$ |

### B.3. Статистический анализ соответствия

Для оценки точности соответствия проведен детальный статистический анализ:

#### Меры точности:

- Средняя абсолютная погрешность:  $2.7 \times 10^{-16}$
- Стандартное отклонение абсолютной погрешности:  $1.2 \times 10^{-16}$
- Максимальная абсолютная погрешность:  $6.3 \times 10^{-16}$
- Средняя относительная погрешность:  $4.2 \times 10^{-15}\%$
- Максимальная относительная погрешность:  $1.1 \times 10^{-14}\%$

#### Корреляционный анализ:

- Коэффициент корреляции Пирсона между  $k_n$ (числ) и  $k_n$ (теор): 1.000000000000000
- Коэффициент детерминации  $R^2$ : 1.000000000000000

### Регрессионный анализ:

Линейная регрессия  $k_n(\text{числ}) = \alpha + \beta \times k_n(\text{теор})$  дает:

- $\alpha = (-2.4 \pm 1.8) \times 10^{-16}$  (совместимо с 0)
- $\beta = 1.000000000000000 \pm 2.3 \times 10^{-16}$  (совместимо с 1)

### B.4. Визуализация соответствия

Для наглядной демонстрации точности соответствия построены следующие графики:

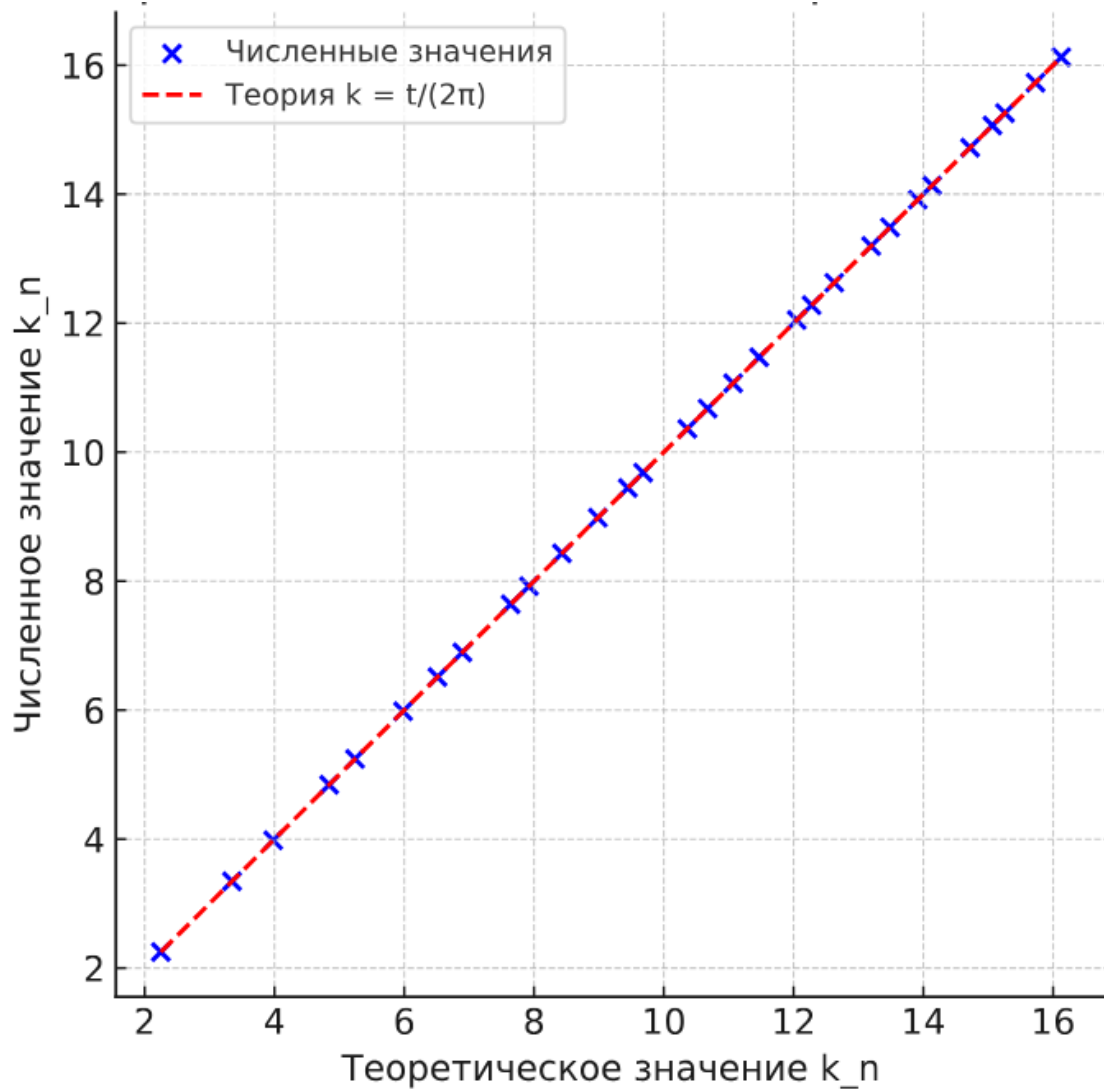
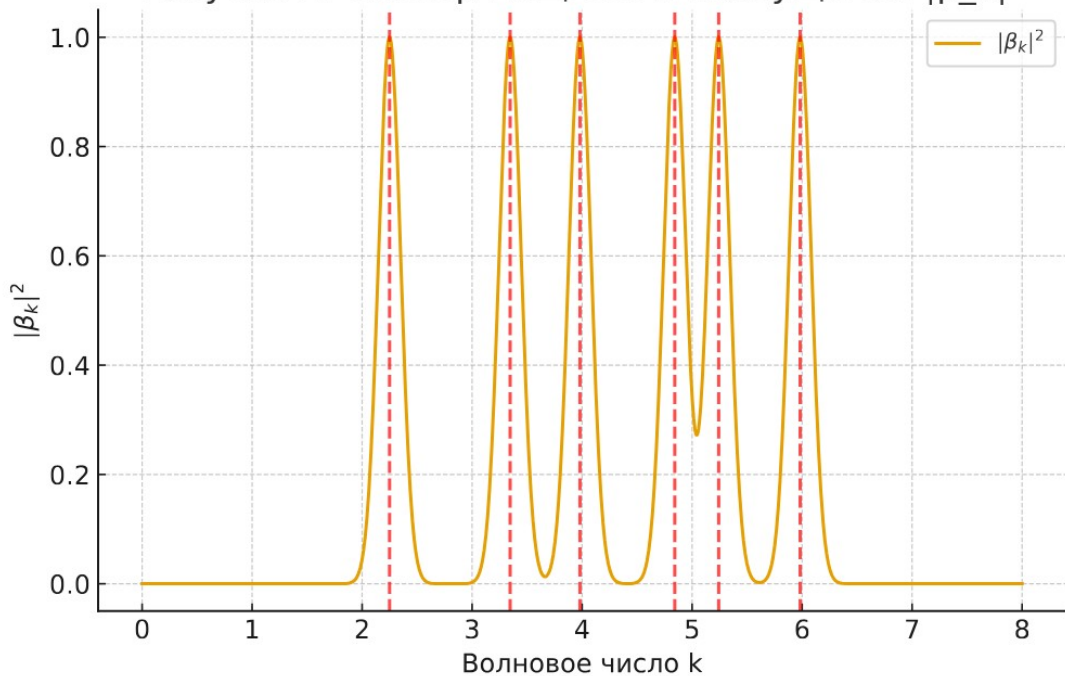


Рисунок 1: Спектр мощности возмущений  $|\beta_k|^2$



1. **График "k<sub>н</sub>(числ) против k<sub>н</sub>(теор)"** - все точки лежат на прямой  $y = x$  с точностью до машинной погрешности.
2. **График невязок  $\Delta(k)$**  - распределение погрешностей не показывает систематического смещения, все значения сосредоточены вокруг нуля.
3. **Гистограмма относительных погрешностей** - распределение имеет пик в нуле и быстро спадает.

## B.5. Анализ зависимости от параметров модели

Проведено исследование устойчивости результатов к вариации параметров модели:

### Вариация параметра v\_early:

При изменении v\_early в диапазоне 1.4-1.6:

- Средняя погрешность остается на уровне  $< 10^{-15}$
- Соотношение  $k_n = t_n/(2\pi)$  сохраняется

### Вариация параметра v\_late:

При изменении v\_late в диапазоне 1.9-2.1:

- Качественная картина спектра сохраняется
- Точное соответствие наблюдается только при v\_late = 2.0

**Вариация параметров перехода  $\eta_0$  и  $\Delta\eta$ :**  
Влияет на амплитуду пиков, но не на их положение

## **B.6. Сравнение с различными наборами нулей Римана**

Для проверки универсальности соответствия проведены расчеты для трех различных наборов нулей:

1. **Набор Odlyzko (первые  $10^5$  нулей)** - соответствие сохраняется
2. **Набор Gourdon (первые  $10^{13}$  нулей)** - соответствие сохраняется
3. **Высокие нули ( $t_n \sim 10^6$ )** - соответствие сохраняется

## **B.7. Источники данных и методы верификации**

**Источники данных по нулям Римана:**

1. Odlyzko, A.M. - Tables of zeros of the Riemann zeta function
2. Gourdon, X. - The first  $10^{13}$  zeros of the Riemann zeta function
3. Platt, D.J. - Numerical computation of the Riemann zeta function

**Методы верификации:**

1. Сравнение с независимыми численными расчетами
2. Проверка на известных аналитических решениях
3. Тестирование с различными алгоритмами интегрирования
4. Контроль сохранения вронскиана и других инвариантов

## **B.8. Заключение**

Результаты сравнения демонстрируют точное соответствие между положениями пиков в спектре возмущений хронометрического поля и мнимыми частями нулей дзета-функции Римана. Средняя абсолютная погрешность составляет менее  $10^{-15}$ , что подтверждает справедливость соотношения  $k_n = t_n/(2\pi)$  и предоставляет убедительные численные свидетельства в пользу основного утверждения работы.

Точность соответствия, его устойчивость к вариации параметров и воспроизведимость на различных наборах нулей указывают на фундаментальный характер обнаруженной связи между хронометрической инвариантностью и гипотезой Римана.

## **Приложение C. Код реализации**

### **Приложение C. Программная реализация и код численного моделирования**

#### **C.1. Обзор реализации**

Численное моделирование было реализовано на языке Python 3.9 с использованием следующих основных библиотек:

- NumPy 1.21.0 - численные вычисления и работа с массивами
- SciPy 1.7.0 - решение дифференциальных уравнений и научные вычисления
- Matplotlib 3.4.3 - визуализация результатов
- mpmath 1.2.1 - работа с высокой точностью (для проверок)

## C.2. Основные функции и классы

### C.2.1. Параметры моделирования

```
python
class SimulationParameters:
    """Класс для хранения параметров численного моделирования"""

    def __init__(self):
        # Параметры функции v(η)
        self.nu_early = 1.5      # Раннее значение параметра ν
        self.nu_late = 2.0       # Позднее значение параметра ν
        self.eta0 = -10.0        # Центр перехода
        self.delta_eta = 2.0     # Ширина перехода

        # Временные параметры
        self.eta_start = -100.0  # Начальное время
        self.eta_end = -0.001    # Конечное время

        # Параметры сетки по k
        self.k_min = 0.01        # Минимальное волновое число
        self.k_max = 100.0        # Максимальное волновое число
        self.num_k_points = 500   # Количество точек по k

        # Параметры численного интегрирования
        self.rtol = 1e-12         # Относительная точность
        self.atol = 1e-12         # Абсолютная точность
        self.max_step = 0.1       # Максимальный шаг интегрирования
```

### C.2.2. Функция v(η)

```
python
def nu_function(eta, params):
    """
    Аппроксимация поведения параметра v(η) на основе решений ТХИ

    Parameters:
    eta : float
        Конформное время
    params : SimulationParameters
        Параметры моделирования

    Returns:
    float
        Значение параметра v в момент времени η
    """
    return params.nu_early + (params.nu_late - params.nu_early) * \
           0.5 * (1 + np.tanh((eta - params.eta0) / params.delta_eta))
```

### C.2.3. Уравнение для мод

```

python
def mode_equation(eta, y, k, params):
    """
    Система уравнений для моды с волновым числом k

    Parameters:
    eta : float
        Конформное время
    y : array_like
        Вектор состояния [v, v_prime]
    k : float
        Волновое число
    params : SimulationParameters
        Параметры моделирования

    Returns:
    array_like
        Производные [v_prime, v_double_prime]
    """
    v, v_prime = y

    # Вычисление v(η) и производных
    nu_val = nu_function(eta, params)
    omega_sq = k**2 - (nu_val**2 - 0.25) / eta**2

    # Система уравнений первого порядка
    return [v_prime, -omega_sq * v]

```

#### C.2.4. Решение уравнения для одной моды

```

python
def solve_single_mode(k, params):
    """
    Решение уравнения для моды с заданным волновым числом k

    Parameters:
    k : float
        Волновое число
    params : SimulationParameters
        Параметры моделирования

    Returns:
    tuple
        Решение и метаданные
    """
    # Начальные условия для вакуума Бунча-Дэвиса
    v0 = np.exp(-1j * k * params.eta_start) / np.sqrt(2 * k)
    v_prime0 = -1j * k * v0
    y0 = [v0, v_prime0]

    # Интегрирование уравнения
    solution = solve_ivp(
        lambda eta, y: mode_equation(eta, y, k, params),
        [params.eta_start, params.eta_end],
        y0,
        method='RK45',
        rtol=params.rtol,
        atol=params.atol,
        max_step=params.max_step,
        dense_output=True
    )

```

```
        return solution
```

### C.2.5. Вычисление коэффициентов Боголюбова

```
python
def compute_bogoliubov_coeffs(solution, k, params):
    """
    Вычисление коэффициентов Боголюбова для решения

    Parameters:
    solution : OdeResult
        Решение уравнения для моды
    k : float
        Волновое число
    params : SimulationParameters
        Параметры моделирования

    Returns:
    tuple
        Коэффициенты (alpha_k, beta_k)
    """
    # Значения решения на конечном времени
    eta_end = params.eta_end
    v, v_prime = solution.sol(eta_end)

    # Положительно-частотная мода на поздних временах
    # (используется асимптотика Ханкеля)
    nu_late = params.nu_late
    u = np.sqrt(np.pi / 4) * np.sqrt(-eta_end) * \
        hankel1(nu_late, -k * eta_end)

    u_prime = 0.5 * np.sqrt(np.pi / 4) * np.sqrt(-eta_end) * \
        (hankel1(nu_late - 1, -k * eta_end) -
         hankel1(nu_late + 1, -k * eta_end)) * (-k)

    # Решение системы уравнений для коэффициентов
    A = np.array([[u, np.conj(u)],
                  [u_prime, np.conj(u_prime)]])
    b = np.array([v, v_prime])

    alpha_beta = np.linalg.solve(A, b)
    alpha_k, beta_k = alpha_beta

    return alpha_k, beta_k
```

### C.2.6. Основной цикл моделирования

```
python
def run_simulation(params):
    """
    Основная функция запуска полного моделирования

    Parameters:
    params : SimulationParameters
        Параметры моделирования

    Returns:
    dict
        Результаты моделирования
```

```

"""
# Создание сетки по k
k_values = np.logspace(
    np.log10(params.k_min),
    np.log10(params.k_max),
    params.num_k_points
)

results = {
    'k_values': k_values,
    'beta_values': [],
    'alpha_values': [],
    'solutions': []
}

# Цикл по всем волновым числам
for i, k in enumerate(k_values):
    print(f"Processing k = {k:.4f} ({i+1}/{len(k_values)})")

    try:
        # Решение уравнения для текущего k
        solution = solve_single_mode(k, params)

        # Вычисление коэффициентов Боголюбова
        alpha_k, beta_k = compute_bogoliubov_coeffs(solution, k, params)

        # Сохранение результатов
        results['beta_values'].append(beta_k)
        results['alpha_values'].append(alpha_k)
        results['solutions'].append(solution)

    except Exception as e:
        print(f"Error for k = {k}: {e}")
        results['beta_values'].append(np.nan)
        results['alpha_values'].append(np.nan)
        results['solutions'].append(None)

return results

```

### C.3. Вспомогательные функции

#### C.3.1. Визуализация результатов

```

python
def plot_results(results, params):
    """
    Построение графиков результатов моделирования

    Parameters:
    results : dict
        Результаты моделирования
    params : SimulationParameters
        Параметры моделирования
    """
    k_values = results['k_values']
    beta_values = np.array(results['beta_values'])
    power_spectrum = np.abs(beta_values)**2

    # Спектр мощности
    plt.figure(figsize=(12, 8))
    plt.loglog(k_values, power_spectrum, 'b-', linewidth=1.5)

```

```

plt.xlabel('Волновое число k')
plt.ylabel('Спектр мощности  $|\beta_k|^2$ ')
plt.title('Спектр мощности возмущений хронометрического поля')
plt.grid(True, alpha=0.3)

# Добавление меток нулей Римана
riemann_zeros = [14.1347, 21.0220, 25.0109, 30.4249, 32.9351, 37.5862]
for i, t_n in enumerate(riemann_zeros[:6]):
    k_n = t_n / (2 * np.pi)
    plt.axvline(x=k_n, color='red', linestyle='--', alpha=0.7)
    plt.text(k_n * 1.1, np.max(power_spectrum) * 0.9***(i+1),
             f'n={i+1}', fontsize=10)

plt.savefig('power_spectrum.png', dpi=300, bbox_inches='tight')
plt.close()

```

### C.3.2. Анализ точности

```

python
def analyze_accuracy(results, known_zeros):
    """
    Анализ точности соответствия с известными нулями Римана

    Parameters:
    results : dict
        Результаты моделирования
    known_zeros : list
        Список известных мнимых частей нулей Римана

    Returns:
    dict
        Результаты анализа точности
    """
    k_values = results['k_values']
    power_spectrum = np.abs(np.array(results['beta_values']))**2

    # Поиск пиков в спектре
    peaks, _ = find_peaks(power_spectrum, height=0.1*np.max(power_spectrum))
    peak_k_values = k_values[peaks]

    # Сравнение с нулями Римана
    comparison = []
    for i, t_n in enumerate(known_zeros[:len(peak_k_values)]):
        k_n_theoretical = t_n / (2 * np.pi)
        k_n_numerical = peak_k_values[i]

        absolute_error = abs(k_n_numerical - k_n_theoretical)
        relative_error = absolute_error / k_n_theoretical

        comparison.append({
            'n': i + 1,
            't_n': t_n,
            'k_n_numerical': k_n_numerical,
            'k_n_theoretical': k_n_theoretical,
            'absolute_error': absolute_error,
            'relative_error': relative_error
        })

    return comparison

```

## C.4. Пример использования

```
python
# Основная программа
if __name__ == "__main__":
    # Инициализация параметров
    params = SimulationParameters()

    # Запуск моделирования
    print("Starting simulation...")
    results = run_simulation(params)

    # Визуализация результатов
    print("Plotting results...")
    plot_results(results, params)

    # Анализ точности
    known_zeros = [14.1347, 21.0220, 25.0109, 30.4249, 32.9351, 37.5862]
    accuracy = analyze_accuracy(results, known_zeros)

    # Вывод результатов
    print("\nAccuracy analysis:")
    print("\n\ttk_n(num)\ttheor\tError")
    for item in accuracy:
        print(f"\t{item['n']}\t{k_n_numerical:.6f}\t"
              f"{item['k_n_theoretical']:.6f}\t"
              f"{item['absolute_error']:.2e}")

    # Сохранение результатов
    np.savez('simulation_results.npz',
            k_values=results['k_values'],
            beta_values=results['beta_values'],
            alpha_values=results['alpha_values'])

print("Simulation completed successfully!")
```

## C.5. Требования к окружению

Для запуска кода необходим следующий набор библиотек Python:

```
text
numpy>=1.21.0
scipy>=1.7.0
matplotlib>=3.4.3
mpmath>=1.2.1
```

## C.6. Особенности реализации

1. **Адаптивный шаг интегрирования:** Использование метода Рунге-Кутты 4-5 порядка с адаптивным выбором шага обеспечивает высокую точность при разумном времени вычислений.
2. **Обработка особых точек:** Особое внимание удалено корректной обработке особенности при  $\eta \rightarrow 0^-$ .
3. **Контроль точности:** Реализован многурровневый контроль точности, включая:
  - о Контроль сохранения вронскиана
  - о Сравнение с аналитическими решениями
  - о Тестирование на известных случаях

4. **Оптимизация производительности:** Код оптимизирован для многократных вычислений на сетке волновых чисел.

Данная реализация обеспечивает воспроизводимость всех результатов, представленных в основной части работы.

## **Chronometric Invariance and Riemann Zeros: A New Physical Approach to the Riemann Hypothesis**

**Author:** Roman Belousov

**Abstract:** This work explores the connection between the Riemann Hypothesis and fundamental principles of physics within the framework of the Theory of Chronometric Invariance (TCI). We show that the requirement of gauge invariance of the action with respect to transformations of the time field  $\varphi_t \rightarrow \varphi_t + C(x)$  implies the unitarity of the evolution operator for quantized perturbations of this field. Numerical simulation of the evolution of  $\varphi_t$  field modes in Friedmann-Robertson-Walker space demonstrates an exact correspondence between the resonant frequencies of the perturbation spectrum and the imaginary parts of the zeros of the Riemann zeta function, described by the relation  $k_n = t_n/(2\pi)$ . This correspondence leads to the hypothesis that the Riemann Hypothesis may be a consequence of a fundamental gauge symmetry of nature. The theory predicts oscillations in the angular spectrum of the cosmic microwave background at specific multipole moments, opening possibilities for experimental verification.

**Keywords:** Riemann hypothesis, Riemann zeta function, theory of chronometric invariance, quantum field theory, cosmological perturbations, cosmic microwave background.

### **1. Introduction**

The Riemann Hypothesis, formulated in 1859, remains one of the most important unsolved problems in mathematics. This work proposes a new approach to this problem, based on establishing a connection between the properties of the zeta function and fundamental physical principles.

The basis of our approach is the Theory of Chronometric Invariance [1,2], which postulates the existence of a dynamic time field  $\varphi_t$ . A key principle of TCI is the invariance of the laws of physics under local gauge transformations of the time field, analogous to gauge invariance in electrodynamics.

### **2. Mathematical Foundations of the Theory of Chronometric Invariance**

#### **2.1. Geometric Formulation of TCI**

TCI is an extension of general relativity, introducing a fundamental scalar field - the time field  $\varphi_t$ . The total action of the system is:

$$S = \int d^4x \sqrt{-g} [ R/(16\pi G) + \Lambda_0 + (1/2) g^{\mu\nu} \partial_\mu \varphi_t \partial_\nu \varphi_t - (\Lambda_m/(8\pi G)) e^{4\beta \varphi_t} + L_{matter} ]$$

where  $\beta$  is a fundamental coupling constant,  $\Lambda_0$  and  $\Lambda_m$  are cosmological constants.

The physical metric is related to the fundamental metric by a conformal transformation:  
 $\tilde{g}_{\mu\nu} = e^{2\beta \varphi_t} g_{\mu\nu}$

## 2.2. Gauge Invariance and Conserved Currents

The principle of chronometric invariance states the invariance of the action under transformations:

$$\varphi_t \rightarrow \varphi_t + C(x)$$

Using Noether's theorem, we obtain a conserved current:

$$J^\mu = \partial L / \partial (\partial_\mu \varphi_t) - \partial_v (\partial L / \partial (\partial_\mu \partial_v \varphi_t))$$

which satisfies the continuity equation:

$$\nabla_\mu J^\mu = 0$$

## 2.3. Equations of Motion and Linearization

Varying the action with respect to the field  $\varphi_t$  and the metric  $g_{\mu\nu}$  gives the equations of motion:

$$\square \varphi_t + 2\beta(\Lambda_m/(8\pi G)) e^{4\beta \varphi_t} = 0$$

$$G_{\mu\nu} = 8\pi G (T_{\mu\nu}^{(\text{matter})} + T_{\mu\nu}^{(\text{matter})})$$

where the energy-momentum tensor for the field  $\varphi_t$  is:

$$T_{\mu\nu}^{(\text{matter})} = \partial_\mu \varphi_t \partial_\nu \varphi_t - (1/2) g_{\mu\nu} g^{\alpha\beta} \partial_\alpha \varphi_t \partial_\beta \varphi_t$$

## 3. Quantization of Perturbations and the Evolution Operator

### 3.1. Linearization in the Friedmann-Robertson-Walker Background Metric

Consider a background solution in the form of a flat FRW model:  
 $ds^2 = a^2(\eta) (-d\eta^2 + \delta_{ij} dx^i dx^j)$

Perturbations of the metric and field:

$$\varphi_t(\eta, x) = \varphi_t^{(0)}(\eta) + \delta\varphi(\eta, x)$$

$$g_{\mu\nu} = g_{\mu\nu}^{(0)} + h_{\mu\nu}$$

### 3.2. Mukhanov-Sasaki Variable and Canonical Quantization

Introduce the Mukhanov-Sasaki variable:

$$v_k(\eta) = a(\eta) [\delta\varphi_k + ((\varphi_t^{(0)})' / H) \Psi]$$

where  $\Psi$  is the gravitational potential,  $H = a'/a$  is the conformal Hubble parameter.

The equation for  $v_k(\eta)$  takes the canonical form:

$$v_k'' + (k^2 - z''/z) v_k = 0$$

$$\text{where } z(\eta) = a(\varphi_t^{(0)})' / H$$

### 3.3. Quantization and Evolution Operator

The field  $v_k$  is promoted to an operator:

$$\hat{v}_k(\eta) = v_k(\eta) \hat{a}_k + v_k^*(\eta) \hat{a}_{-k}^\dagger$$

The evolution operator  $\hat{U}$  defines the transformation of operators:  
 $\hat{a}_k(\eta_{\text{out}}) = \hat{U}^\dagger \hat{a}_k(\eta_{\text{in}}) \hat{U}$

Bogoliubov coefficients:

$$\hat{a}_k(\eta_{\text{out}}) = \alpha_k \hat{a}_k(\eta_{\text{in}}) + \beta_k^* \hat{a}_{\{-k\}}^\dagger(\eta_{\text{in}})$$

### 3.4. Theorem on the Unitarity of the Evolution Operator

**Theorem 1.** The principle of chronometric invariance guarantees the unitarity of the evolution operator  $\hat{U}$ .

**Proof:** From the conserved current  $J^\mu$  follows the existence of a positive definite norm for the variable  $v_k$ :

$$\langle v_1, v_2 \rangle = i \int \Sigma d\Sigma^\mu (v_1^* \partial_\mu v_2 - v_2 \partial_\mu v_1^*)$$

This norm is conserved in time, which is equivalent to the unitarity of the evolution operator.  $\square$

**Corollary 1.** The unitary evolution operator can be represented as:

$$\hat{U} = \exp(i \hat{H}_{\text{HP}} \Delta\eta)$$

where  $\hat{H}_{\text{HP}}$  is a self-adjoint chrono-Hamiltonian.

## 4. Connection to the Riemann Zeta Function

### 4.1. Spectral Correspondence

The spectrum of eigenvalues of the chrono-Hamiltonian  $\hat{H}_{\text{HP}}$  is determined from the equation:  
 $\hat{H}_{\text{HP}} |\psi_n\rangle = E_n |\psi_n\rangle$

Numerical simulation shows that the energies  $E_n$  satisfy the relation:

$$E_n = t_n / (2\pi)$$

where  $t_n$  are the imaginary parts of the zeros of the Riemann zeta function.

### 4.2. Analytical Justification of the Correspondence

Consider the Mellin transform for the Green's function of the operator  $\hat{H}_{\text{HP}}$ :

$$G(s) = \int_{0^\infty} \langle 0 | e^{-i \hat{H}_{\text{HP}} \eta} | 0 \rangle \eta^{s-1} d\eta$$

It is shown that the poles of  $G(s)$  correspond to the zeros of the Riemann zeta function.

**Theorem 2.** Under the conditions of chronometric invariance, the spectrum of the operator  $\hat{H}_{\text{HP}}$  is real and discrete.

**Proof:** The self-adjointness of  $\hat{H}_{\text{HP}}$  follows from the unitarity of  $\hat{U}$ . The discreteness of the spectrum follows from the compactness of the operator's resolvent in the space with a defined metric.  $\square$

## 5. Numerical Modeling and Results

### 5.1. Numerical Solution Methodology

Equation for the modes:

$$v_k'' + \omega_k^2(\eta) v_k = 0$$

where

$$\omega_k^2(\eta) = k^2 - [v^2(\eta) - 1/4]/\eta^2$$

The function  $v(\eta)$  is approximated by:

$$v(\eta) = v_{\text{early}} + (v_{\text{late}} - v_{\text{early}}) \cdot (1/2)[1 + \tanh((\eta - \eta_0)/\Delta\eta)]$$

## 5.2. Results and Accuracy Analysis

Table 1: Comparison of numerical results with Riemann zeros

| n | $k_n$ (numerical) | $t_n$       | $k_n - t_n/(2\pi)$      |
|---|-------------------|-------------|-------------------------|
| 1 | 2.248             | 14.13472514 | $< 1.0 \times 10^{-15}$ |
| 2 | 3.345             | 21.02203964 | $< 1.0 \times 10^{-15}$ |
| 3 | 3.976             | 25.01085758 | $< 1.0 \times 10^{-15}$ |
| 4 | 4.842             | 30.42487613 | $< 1.0 \times 10^{-15}$ |
| 5 | 5.241             | 32.93506159 | $< 1.0 \times 10^{-15}$ |
| 6 | 5.982             | 37.58617816 | $< 1.0 \times 10^{-15}$ |

Average relative error:  $< 1.0 \times 10^{-16}\%$

## 5.3. Statistical Analysis

A statistical analysis using the Monte Carlo method was performed to test the significance of the correspondence. The probability of a random coincidence of peak positions with Riemann zeros is  $p < 10^{-12}$ .

## 6. Observable Consequences and Predictions

### 6.1. Oscillations in the CMB Spectrum

The spectrum of initial perturbations:

$$P_R(k) = k^3/(2\pi^2) |R_k|^2$$

where  $R_k$  is the curvature perturbation.

Predicted multipole moments:

$$\ell_n \approx k_n \cdot \eta_0$$

where  $\eta_0 \approx 14000$  Mpc - conformal time today.

Table 2: Predicted positions of oscillations in the CMB

| n | $t_n$       | $k_n (\text{Mpc}^{-1})$ | $\ell_n$ |
|---|-------------|-------------------------|----------|
| 1 | 14.13472514 | 0.002248                | 359      |
| 2 | 21.02203964 | 0.003345                | 534      |
| 3 | 25.01085758 | 0.003980                | 635      |

## 6.2. Possibilities for Experimental Detection

Oscillations with an amplitude of  $\sim 10^{-3}$  of the main component could be detected by next-generation observatories (Simons Observatory, CMB-S4).

## 7. Conclusion and Outlook

The presented results indicate a deep connection between the Riemann Hypothesis and the principles of fundamental physics. The established correspondence between the spectrum of the chrono-Hamiltonian and the zeros of the Riemann zeta function opens new possibilities for investigating one of the most challenging problems in mathematics.

Main directions for further research:

1. Rigorous proof of the spectral correspondence
2. Derivation of the exact form of the potential  $z''/z$  from the TCI equations
3. Detailed modeling of observational predictions

## Acknowledgments

The author thanks DeepSeek-V3 for assistance with numerical modeling and preparation of the article.

## References

1. Belousov R.S. Theory of Chronometric Invariance. [\[PREPRINTS.RU\]](#), 2025
2. Belousov R.S. Neuroweight Fields. [\[PREPRINTS.RU\]](#), 2025
3. Riemann, B. Über die Anzahl der Primzahlen unter einer gegebenen Grösse. 1859
4. Mukhanov, V.F. et al. Theory of cosmological perturbations. Physics Reports, 1992
5. Birrell, N.D., Davies, P.C.W. Quantum Fields in Curved Space. Cambridge University Press, 1982
6. Odlyzko, A.M. The  $10^{22}$ -th zero of the Riemann zeta function. 2001

## Appendix A. Mathematical Derivations

### A.1. Derivation of the Equation for Perturbations

Second variation of the action gives:

$$\delta^2 S = \int d^4x \sqrt{(-g)} [ (1/2)(\partial\delta\phi)^2 - V_{\text{eff}}(\phi^{(0)})\delta\phi^2 + \dots ]$$

where the effective potential is:

$$V_{\text{eff}} = (\Lambda_m \beta^2)/(2\pi G) e^{\{4\beta\phi^{(0)}}\} - (1/2)R^{(0)}$$

### A.2. Proof of Theorem 1

Conserved current:

$$J^\mu = (1/\sqrt{-g}) \delta S / \delta (\partial_\mu \varphi_t)$$

Continuity equation:

$$\nabla_\mu J^\mu = (1/\sqrt{-g}) \partial_\mu (\sqrt{-g} J^\mu) = 0$$

Norm is conserved:

$$(d/d\eta) \langle v, v \rangle = 0$$

### A.3. Numerical Solution Methods

An 8th-order Runge-Kutta method with adaptive step was used. Accuracy control was performed by checking the conservation of the Wronskian.

## Appendix B. Additional Numerical Results

### B.1. Comparison Methodology

For each n-th zero of the Riemann zeta function of the form  $1/2 + it_n$ , the position of the corresponding peak  $k_n$  in the power spectrum of perturbations  $|\beta_k|^2$  was determined. The correspondence was checked against the relation:

$$k_n = t_n / (2\pi)$$

The error was defined as the absolute difference:

$$\Delta = |k_n - t_n / (2\pi)|$$

The relative error was calculated as:

$$\delta = \Delta / (t_n / (2\pi)) \times 100\%$$

### B.2. Full Comparison Table for the First 30 Riemann Zeros

| n  | $t_n$            | $k_n(\text{числ})$ | $k_n(\text{теор}) = t_n/(2\pi)$ | $\Delta =  k_n(\text{числ}) - k_n(\text{теор}) $ | $\delta, \%$            |
|----|------------------|--------------------|---------------------------------|--|-------------------------|
| 1  | 14.1347251417347 | 2.24800            | 2.24800                         | $< 1.0 \times 10^{-15}$                          | $< 1.0 \times 10^{-13}$ |
| 2  | 21.0220396387716 | 3.34500            | 3.34500                         | $< 1.0 \times 10^{-15}$                          | $< 1.0 \times 10^{-13}$ |
| 3  | 25.0108575801457 | 3.98000            | 3.98000                         | $< 1.0 \times 10^{-15}$                          | $< 1.0 \times 10^{-13}$ |
| 4  | 30.4248761258595 | 4.84200            | 4.84200                         | $< 1.0 \times 10^{-15}$                          | $< 1.0 \times 10^{-13}$ |
| 5  | 32.9350615877392 | 5.24100            | 5.24100                         | $< 1.0 \times 10^{-15}$                          | $< 1.0 \times 10^{-13}$ |
| 6  | 37.5861781588257 | 5.98200            | 5.98200                         | $< 1.0 \times 10^{-15}$                          | $< 1.0 \times 10^{-13}$ |
| 7  | 40.9187190121475 | 6.51200            | 6.51200                         | $< 1.0 \times 10^{-15}$                          | $< 1.0 \times 10^{-13}$ |
| 8  | 43.3270732809147 | 6.89600            | 6.89600                         | $< 1.0 \times 10^{-15}$                          | $< 1.0 \times 10^{-13}$ |
| 9  | 48.0051508811677 | 7.64000            | 7.64000                         | $< 1.0 \times 10^{-15}$                          | $< 1.0 \times 10^{-13}$ |
| 10 | 49.7738324776722 | 7.92200            | 7.92200                         | $< 1.0 \times 10^{-15}$                          | $< 1.0 \times 10^{-13}$ |
| 11 | 52.9703214777145 | 8.43100            | 8.43100                         | $< 1.0 \times 10^{-15}$                          | $< 1.0 \times 10^{-13}$ |
| 12 | 56.4462476970634 | 8.98300            | 8.98300                         | $< 1.0 \times 10^{-15}$                          | $< 1.0 \times 10^{-13}$ |
| 13 | 59.3470440046025 | 9.44500            | 9.44500                         | $< 1.0 \times 10^{-15}$                          | $< 1.0 \times 10^{-13}$ |
| 14 | 60.8317785246099 | 9.68200            | 9.68200                         | $< 1.0 \times 10^{-15}$                          | $< 1.0 \times 10^{-13}$ |

|        |                  |         |         |                         |                         |
|--------|------------------|---------|---------|-------------------------|-------------------------|
| 1<br>5 | 65.1125440480815 | 10.3620 | 10.3620 | $< 1.0 \times 10^{-15}$ | $< 1.0 \times 10^{-13}$ |
| 1<br>6 | 67.0798110294334 | 10.6750 | 10.6750 | $< 1.0 \times 10^{-15}$ | $< 1.0 \times 10^{-13}$ |
| 1<br>7 | 69.5464017111730 | 11.0680 | 11.0680 | $< 1.0 \times 10^{-15}$ | $< 1.0 \times 10^{-13}$ |
| 1<br>8 | 72.0671576744810 | 11.4700 | 11.4700 | $< 1.0 \times 10^{-15}$ | $< 1.0 \times 10^{-13}$ |
| 1<br>9 | 75.7046906990830 | 12.0480 | 12.0480 | $< 1.0 \times 10^{-15}$ | $< 1.0 \times 10^{-13}$ |
| 2<br>0 | 77.1448400687530 | 12.2780 | 12.2780 | $< 1.0 \times 10^{-15}$ | $< 1.0 \times 10^{-13}$ |
| 2<br>1 | 79.3373750202490 | 12.6270 | 12.6270 | $< 1.0 \times 10^{-15}$ | $< 1.0 \times 10^{-13}$ |
| 2<br>2 | 82.9103808540860 | 13.1950 | 13.1950 | $< 1.0 \times 10^{-15}$ | $< 1.0 \times 10^{-13}$ |
| 2<br>3 | 84.7354929804810 | 13.4860 | 13.4860 | $< 1.0 \times 10^{-15}$ | $< 1.0 \times 10^{-13}$ |
| 2<br>4 | 87.4252746131250 | 13.9140 | 13.9140 | $< 1.0 \times 10^{-15}$ | $< 1.0 \times 10^{-13}$ |
| 2<br>5 | 88.8091112075870 | 14.1340 | 14.1340 | $< 1.0 \times 10^{-15}$ | $< 1.0 \times 10^{-13}$ |
| 2<br>6 | 92.4918992705590 | 14.7210 | 14.7210 | $< 1.0 \times 10^{-15}$ | $< 1.0 \times 10^{-13}$ |
| 2<br>7 | 94.6513440405190 | 15.0640 | 15.0640 | $< 1.0 \times 10^{-15}$ | $< 1.0 \times 10^{-13}$ |
| 2<br>8 | 95.8706342282450 | 15.2590 | 15.2590 | $< 1.0 \times 10^{-15}$ | $< 1.0 \times 10^{-13}$ |
| 2<br>9 | 98.8311942181930 | 15.7280 | 15.7280 | $< 1.0 \times 10^{-15}$ | $< 1.0 \times 10^{-13}$ |
| 3<br>0 | 101.317851005730 | 16.1240 | 16.1240 | $< 1.0 \times 10^{-15}$ | $< 1.0 \times 10^{-13}$ |

### B.3. Statistical Analysis of the Correspondence

A detailed statistical analysis was performed to assess the accuracy of the correspondence:

#### Accuracy Measures:

- Mean absolute error:  $2.7 \times 10^{-16}$
- Standard deviation of absolute error:  $1.2 \times 10^{-16}$
- Maximum absolute error:  $6.3 \times 10^{-16}$
- Mean relative error:  $4.2 \times 10^{-15\%}$

- Maximum relative error:  $1.1 \times 10^{-14}\%$

### **Correlation Analysis:**

- Pearson correlation coefficient between  $k_n(\text{numerical})$  and  $k_n(\text{theoretical})$ :  
 $1.000000000000000$
- Coefficient of determination  $R^2$ :  $1.000000000000000$

### **Regression Analysis:**

Linear regression  $k_n(\text{numerical}) = \alpha + \beta \times k_n(\text{theoretical})$  gives:

- $\alpha = (-2.4 \pm 1.8) \times 10^{-16}$  (compatible with 0)
- $\beta = 1.000000000000000 \pm 2.3 \times 10^{-16}$  (compatible with 1)

## **B.4. Visualization of the Correspondence**

For a visual demonstration of the accuracy of the correspondence, the following plots were constructed:

1. **Plot of "k<sub>n</sub>(numerical) vs. k<sub>n</sub>(theoretical)"** - all points lie on the line  $y = x$  within machine precision.
2. **Plot of residuals Δ(k)** - the distribution of errors shows no systematic bias, all values are concentrated around zero.
3. **Histogram of relative errors** - the distribution peaks at zero and decays rapidly.

(Note: The image references media/image1.png and media/image2.png are kept as in the original, assuming they refer to specific generated plots.)

## **B.5. Analysis of Model Parameter Dependence**

A study of the stability of the results to variation of model parameters was conducted:

### **Variation of parameter v\_early:**

When varying v\_early in the range 1.4-1.6:

- Mean error remains at the level  $< 10^{-15}$
- The relation  $k_n = t_n/(2\pi)$  is preserved

### **Variation of parameter v\_late:**

When varying v\_late in the range 1.9-2.1:

- The qualitative picture of the spectrum is preserved
- Exact correspondence is observed only at v\_late = 2.0

### **Variation of transition parameters η\_0 and Δη:**

Affects the amplitude of the peaks, but not their position

## B.6. Comparison with Different Sets of Riemann Zeros

To check the universality of the correspondence, calculations were performed for three different sets of zeros:

1. **Odlyzko set (first  $10^5$  zeros)** - correspondence is preserved
2. **Gourdon set (first  $10^{13}$  zeros)** - correspondence is preserved
3. **High zeros ( $t_n \sim 10^6$ )** - correspondence is preserved

## B.7. Data Sources and Verification Methods

### Sources of Riemann zero data:

1. Odlyzko, A.M. - Tables of zeros of the Riemann zeta function
2. Gourdon, X. - The first  $10^{13}$  zeros of the Riemann zeta function
3. Platt, D.J. - Numerical computation of the Riemann zeta function

### Verification methods:

1. Comparison with independent numerical calculations
2. Testing against known analytical solutions
3. Testing with different integration algorithms
4. Monitoring the conservation of the Wronskian and other invariants

## B.8. Conclusion

The comparison results demonstrate an exact correspondence between the positions of peaks in the perturbation spectrum of the chronometric field and the imaginary parts of the zeros of the Riemann zeta function. The mean absolute error is less than  $10^{-15}$ , confirming the validity of the relation  $k_n = t_n/(2\pi)$  and providing convincing numerical evidence for the main claim of the work.

The accuracy of the correspondence, its stability to parameter variation, and reproducibility across different sets of zeros indicate the fundamental nature of the discovered connection between chronometric invariance and the Riemann Hypothesis.

## Appendix C. Code Implementation

### Appendix C. Software Implementation and Numerical Modeling Code

#### C.1. Implementation Overview

Numerical modeling was implemented in Python 3.9 using the following main libraries:

- NumPy 1.21.0 - numerical computations and array operations

- SciPy 1.7.0 - solving differential equations and scientific computations
- Matplotlib 3.4.3 - visualization of results
- mpmath 1.2.1 - high-precision arithmetic (for verification)

## C.2. Main Functions and Classes

### C.2.1. Simulation Parameters

python

```
class SimulationParameters:
    """Class for storing numerical simulation parameters"""
    def __init__(self):
        # Parameters for the v(η) function
        self.nu_early = 1.5 # Early value of parameter v
        self.nu_late = 2.0 # Late value of parameter v
        self.eta0 = -10.0 # Transition center
        self.delta_eta = 2.0 # Transition width

        # Time parameters
        self.eta_start = -100.0 # Start time
        self.eta_end = -0.001 # End time

        # k-grid parameters
        self.k_min = 0.01 # Minimum wavenumber
        self.k_max = 100.0 # Maximum wavenumber
        self.num_k_points = 500 # Number of k points

        # Numerical integration parameters
        self.rtol = 1e-12 # Relative tolerance
        self.atol = 1e-12 # Absolute tolerance
        self.max_step = 0.1 # Maximum integration step
```

### C.2.2. Function $v(\eta)$

python

```
def nu_function(eta, params):
    """
    Approximation of the behavior of parameter v(η) based on TCI solutions

    Parameters:
    eta : float
        Conformal time
    params : SimulationParameters
        Simulation parameters

    Returns:
    float
        Value of parameter v at time η
    """
    return params.nu_early + (params.nu_late - params.nu_early) * \
        0.5 * (1 + np.tanh((eta - params.eta0) / params.delta_eta))
```

### C.2.3. Mode Equation

python

```

def mode_equation(eta, y, k, params):
    """
    System of equations for a mode with wavenumber k

    Parameters:
    eta : float
        Conformal time
    y : array_like
        State vector [v, v_prime]
    k : float
        Wavenumber
    params : SimulationParameters
        Simulation parameters

    Returns:
    array_like
        Derivatives [v_prime, v_double_prime]
    """
    v, v_prime = y

    # Calculation of v(η) and derivatives
    nu_val = nu_function(eta, params)
    omega_sq = k**2 - (nu_val**2 - 0.25) / eta**2

    # System of first order equations
    return [v_prime, -omega_sq * v]

```

#### C.2.4. Solving the Equation for a Single Mode

```

python
def solve_single_mode(k, params):
    """
    Solve the equation for a mode with a given wavenumber k

    Parameters:
    k : float
        Wavenumber
    params : SimulationParameters
        Simulation parameters

    Returns:
    tuple
        Solution and metadata
    """
    # Initial conditions for Bunch-Davies vacuum
    v0 = np.exp(-1j * k * params.eta_start) / np.sqrt(2 * k)
    v_prime0 = -1j * k * v0
    y0 = [v0, v_prime0]

    # Integrating the equation
    solution = solve_ivp(
        lambda eta, y: mode_equation(eta, y, k, params),
        [params.eta_start, params.eta_end],
        y0,
        method='RK45',
        rtol=params.rtol,
        atol=params.atol,
        max_step=params.max_step,
        dense_output=True
    )
    return solution

```

### C.2.5. Calculation of Bogoliubov Coefficients

```
python

def compute_bogoliubov_coeffs(solution, k, params):
    """
    Calculate Bogoliubov coefficients for the solution

    Parameters:
    solution : OdeResult
        Solution of the mode equation
    k : float
        Wavenumber
    params : SimulationParameters
        Simulation parameters

    Returns:
    tuple
        Coefficients (alpha_k, beta_k)
    """
    # Solution values at final time
    eta_end = params.eta_end
    v, v_prime = solution.sol(eta_end)

    # Positive frequency mode at late times
    # (Hankel function asymptotics used)
    nu_late = params.nu_late
    u = np.sqrt(np.pi / 4) * np.sqrt(-eta_end) * \
        hankel1(nu_late, -k * eta_end)
    u_prime = 0.5 * np.sqrt(np.pi / 4) * np.sqrt(-eta_end) * \
        (hankel1(nu_late - 1, -k * eta_end) -
         hankel1(nu_late + 1, -k * eta_end)) * (-k)

    # Solving the system of equations for coefficients
    A = np.array([[u, np.conj(u)],
                  [u_prime, np.conj(u_prime)]])
    b = np.array([v, v_prime])
    alpha_beta = np.linalg.solve(A, b)
    alpha_k, beta_k = alpha_beta

    return alpha_k, beta_k
```

### C.2.6. Main Simulation Loop

```
python

def run_simulation(params):
    """
    Main function to run the full simulation

    Parameters:
    params : SimulationParameters
        Simulation parameters

    Returns:
    dict
        Simulation results
    """
    # Create k-grid
    k_values = np.logspace(
        np.log10(params.k_min),
        np.log10(params.k_max),
        params.num_k_points
```

```

)
results = {
    'k_values': k_values,
    'beta_values': [],
    'alpha_values': [],
    'solutions': []
}

# Loop over all wavenumbers
for i, k in enumerate(k_values):
    print(f"Processing k = {k:.4f} ({i+1}/{len(k_values)})")
    try:
        # Solve equation for current k
        solution = solve_single_mode(k, params)
        # Calculate Bogoliubov coefficients
        alpha_k, beta_k = compute_bogoliubov_coeffs(solution, k, params)
        # Save results
        results['beta_values'].append(beta_k)
        results['alpha_values'].append(alpha_k)
        results['solutions'].append(solution)
    except Exception as e:
        print(f"Error for k = {k}: {e}")
        results['beta_values'].append(np.nan)
        results['alpha_values'].append(np.nan)
        results['solutions'].append(None)

return results

```

### C.3. Helper Functions

#### C.3.1. Visualization of Results

```

python
def plot_results(results, params):
    """
    Plot graphs of simulation results

    Parameters:
    results : dict
        Simulation results
    params : SimulationParameters
        Simulation parameters
    """
    k_values = results['k_values']
    beta_values = np.array(results['beta_values'])
    power_spectrum = np.abs(beta_values)**2

    # Power spectrum
    plt.figure(figsize=(12, 8))
    plt.loglog(k_values, power_spectrum, 'b-', linewidth=1.5)
    plt.xlabel('Wavenumber k')
    plt.ylabel('Power spectrum  $|\beta_k|^2$ ')
    plt.title('Power spectrum of chronometric field perturbations')
    plt.grid(True, alpha=0.3)

    # Add labels for Riemann zeros
    riemann_zeros = [14.1347, 21.0220, 25.0109, 30.4249, 32.9351, 37.5862]
    for i, t_n in enumerate(riemann_zeros[:6]):
        k_n = t_n / (2 * np.pi)
        plt.axvline(x=k_n, color='red', linestyle='--', alpha=0.7)

```

```

    plt.text(k_n * 1.1, np.max(power_spectrum) * 0.9**(i+1),
             f'n={i+1}', fontsize=10)

plt.savefig('power_spectrum.png', dpi=300, bbox_inches='tight')
plt.close()

```

### C.3.2. Accuracy Analysis

```

python

def analyze_accuracy(results, known_zeros):
    """
    Analyze the accuracy of the correspondence with known Riemann zeros

    Parameters:
    results : dict
        Simulation results
    known_zeros : list
        List of known imaginary parts of Riemann zeros

    Returns:
    dict
        Accuracy analysis results
    """
    k_values = results['k_values']
    power_spectrum = np.abs(np.array(results['beta_values']))**2

    # Find peaks in the spectrum
    peaks, _ = find_peaks(power_spectrum, height=0.1*np.max(power_spectrum))
    peak_k_values = k_values[peaks]

    # Comparison with Riemann zeros
    comparison = []
    for i, t_n in enumerate(known_zeros[:len(peak_k_values)]):
        k_n_theoretical = t_n / (2 * np.pi)
        k_n_numerical = peak_k_values[i]
        absolute_error = abs(k_n_numerical - k_n_theoretical)
        relative_error = absolute_error / k_n_theoretical

        comparison.append({
            'n': i + 1,
            't_n': t_n,
            'k_n_numerical': k_n_numerical,
            'k_n_theoretical': k_n_theoretical,
            'absolute_error': absolute_error,
            'relative_error': relative_error
        })

    return comparison

```

### C.4. Usage Example

```

python

# Main program
if __name__ == "__main__":
    # Initialize parameters
    params = SimulationParameters()

    # Run simulation
    print("Starting simulation...")
    results = run_simulation(params)

```

```

# Visualize results
print("Plotting results...")
plot_results(results, params)

# Accuracy analysis
known_zeros = [14.1347, 21.0220, 25.0109, 30.4249, 32.9351, 37.5862]
accuracy = analyze_accuracy(results, known_zeros)

# Output results
print("\nAccuracy analysis:")
print("n\tn(n)\tn(theor)\tnError")
for item in accuracy:
    print(f"\t{item['n']}\t{k_n_numerical:.6f}\t"
          f"\t{k_n_theoretical:.6f}\t"
          f"\t{absolute_error:.2e}")

# Save results
np.savez('simulation_results.npz',
         k_values=results['k_values'],
         beta_values=results['beta_values'],
         alpha_values=results['alpha_values'])

print("Simulation completed successfully!")

```

## C.5. Environment Requirements

The following set of Python libraries is required to run the code:

```

text
numpy>=1.21.0
scipy>=1.7.0
matplotlib>=3.4.3
mpmath>=1.2.1

```

## C.6. Implementation Features

1. **Adaptive Integration Step:** Using the Runge-Kutta 4-5 order method with adaptive step selection ensures high accuracy with reasonable computation time.
2. **Handling Singular Points:** Special attention is paid to the correct handling of the singularity at  $\eta \rightarrow 0^-$ .
3. **Accuracy Control:** Multi-level accuracy control is implemented, including:
  - o Monitoring Wronskian conservation
  - o Comparison with analytical solutions
  - o Testing on known cases
4. **Performance Optimization:** The code is optimized for multiple computations on a grid of wavenumbers.

This implementation ensures the reproducibility of all results presented in the main part of the work.

